

## بررسی پایداری خاکدانه‌ها در برابر ضربه قطرات باران در برخی خاک‌های ناحیه نیمه‌خشک در شمال غرب زنجان

سعیده اکبری<sup>۱</sup>، علیرضا واعظی<sup>۲\*</sup>

تاریخ دریافت: ۹۱/۰۷/۲۲ تاریخ پذیرش: ۹۳/۰۳/۰۵

<sup>۱</sup>دانشجوی سابق کارشناسی ارشد، گروه علوم خاک، دانشکده کشاورزی، دانشگاه زنجان

<sup>۲</sup>دانشیار، گروه علوم خاک، دانشکده کشاورزی، دانشگاه زنجان

\* مسئول مکاتبات، پست الکترونیکی: vaezi.alireza@gmail.com

### چکیده

پایداری خاکدانه‌ها یکی از مهم‌ترین ویژگی‌های فیزیکی خاک است که بر میزان پراکنش ذرات خاک به‌وسیله قطرات باران اثر می‌گذارد. این پژوهش به‌منظور بررسی تخریب خاکدانه‌ها تحت تأثیر ضربه قطرات باران و رابطه آن با پایداری خاکدانه در برخی خاک‌های ناحیه نیمه‌خشک در زنجان انجام گرفت. آزمایش در ۳۰ نمونه خاک دیم‌زار و سه تکرار در سال ۱۳۹۰ انجام شد. برای این منظور، خاکدانه‌های با قطر ۶ تا ۸ میلی‌متر در جعبه‌هایی مسطح به ابعاد ۲۴ سانتی‌متر × ۳۰ سانتی‌متر و ضخامت ۶ سانتی‌متر ریخته شدند. جعبه‌ها در معرض چهار رخداد باران شبیه‌سازی شده با شدت ۶۰ میلی‌متر بر ساعت و به‌مدت ۳۰ دقیقه قرار گرفتند. در هر رخداد بارندگی میزان تخریب خاکدانه‌ها در هر جعبه با مقایسه میانگین وزنی قطر آن‌ها (MWD) پیش و پس از بارندگی به‌دست آمد. پایداری خاکدانه‌ها با استفاده از دو روش الکتر و آزمون قطره آب، در اثر باران وجود داشت ( $p \leq 0.01$ ). تخریب خاکدانه‌ها تحت تأثیر پایداری خاکدانه‌ها در روش میزان تخریب خاکدانه‌ها در اثر باران وجود داشت ( $R^* = 0.29$ ). تخریب خاکدانه‌ها در خاک‌های مورد بررسی رابطه معنی‌دار با میانگین هندسی قطر ذرات معدنی، سنگریزه و ماده آلی داشت ( $p \leq 0.01$  و  $R^* = 0.85$ ).

واژه‌های کلیدی: اندازه خاکدانه، جدا شدن ذرات خاک، میانگین وزنی قطر خاکدانه‌ها

## Investigating Aggregates Stability Against Raindrops Impact in Some Soils of a Semi-Arid Region, North West of Zanjan

S Akbari<sup>1</sup>, AR Vaezi<sup>2</sup>

Received: 13 October 2012 Accepted: 26 May 2014

<sup>1</sup>-Former M.Sc. Student, Soil Sci. Dept., Faculty of Agriculture, University of Zanjan, Iran

<sup>2</sup>-Assoc. Prof., Soil Sci. Dept., Faculty of Agriculture, University of Zanjan, Iran

\*Corresponding Author, Email: vaezi.alireza@gmail.com

### Abstract

Aggregate stability is one of the most important soil physical properties which can affect the soil disruption by raindrops. This research was conducted to study the aggregates breakdown under raindrops impact and its relationship with aggregate stability in some semi-arid region soils of Zanjan province, Iran. Thirty soils samples with three replications were taken from thirty dry-farming lands at North West of Zanjan in 2011. Aggregate samples with diameters of 6-8 mm were taken from each farm soil and put in a flat box with dimensions of 24 cm × 30 cm and 6-cm depth. The soil boxes were separately affected by four simulated rainfall events with intensity of 60 mm h<sup>-1</sup> for 30-min duration. The amount of aggregate breakdown in each soil box under each rainfall event was then determined by comparing of the mean weight diameter (MWD) of soil aggregates before and after each rainfall event. Aggregates stability was determined using two methods: wet-sieving and water-drop test. Results indicated that the amount of aggregate breakdown on the basis of MWD values significantly varied among 30 soil samples ( $p \leq 0.001$ ), due to rainfall impact. Aggregate breakdown had no significant correlation with the aggregate stability determined using the wet-sieving method, whereas it was negatively correlated to the aggregate stability obtained based on the water-drop test method ( $R^2 = 0.29$ ,  $p \leq 0.05$ ). Aggregate breakdown in the soils was significantly related to geometric mean diameter of mineral particles, gravel and organic matter ( $R^2 = 0.65$ ,  $p \leq 0.001$ ).

**Keywords:** Aggregate size, Mean weight diameter of aggregates, Soil disruption

مهمترین شاخص‌های مؤثر در تخریب خاک در مقابل باران، پایداری خاکدانه‌ها می‌باشد (بارتیس و روس ۲۰۰۲). پایداری خاکدانه بیان‌گر توانایی آن در حفظ اندازه اولیه در برابر نیروهای خارجی است (تاب و همکاران ۱۹۹۷). میزان تخریب خاکدانه‌ها به میزان نیروی جداسازی خاکدانه‌ها به وسیله قطرات باران و مقاومت خاک بستگی دارد. میزان مقاومت خاکدانه‌های یک خاک به رطوبت اولیه، میزان ماده آلی خاک و بافت آن بستگی دارد (توری و همکاران ۱۹۸۷). پایداری خاکدانه تحت تأثیر ویژگی‌هایی مانند مقدار رس، مواد

### مقدمه

نخستین پیامد برخورد قطرات باران بر سطح خاک، تخریب خاکدانه‌ها<sup>۱</sup> و جدا شدن ذرات خاک از یکدیگر می‌باشد (لوچ و فولی ۱۹۹۴). با وجود آنکه تأثیر ویژگی‌های باران بر تخریب خاک در برخی تحقیقات (والته و همکاران ۲۰۰۶، رویز سینگا و رومرو دیاز ۲۰۱۰) مورددبررسی قرارگرفته است، لیکن چگونگی تأثیر ویژگی‌های مختلف خاک بر تخریب آن در اثر باران بدقت مورددبررسی قرار نگرفته است. یکی از

<sup>1</sup> Aggregate breakdown

افزایش پایداری خاکدانه‌ها و کاهش تخریب آن‌ها باز است. در پژوهشی راموس و همکاران (۲۰۰۳) اثر ضربه قطرات باران و ارتباط آن با پایداری خاکدانه را بررسی کردند. نتایج نشان داد خاک‌هایی که دارای میزان سیلت بالاتری می‌باشند، پایداری کمتری در برابر قطرات باران داشتند. در تحقیقی امباگو (۲۰۰۲) با استفاده از آزمون رها کردن قطره باران، پایداری خاکدانه‌ها را بررسی کرد. نتایج نشان داد که با افزایش میزان اکسیدهای آهن و آلومینیوم و آهک، میزان پایداری خاکدانه‌ها به‌طور معنی‌دار افزایش یافت ( $R=0.89$ ). در پژوهشی مامدو و همکاران (۲۰۰۶) اثر درصد رس خاک بر میزان هدررفت خاک را بررسی کردند. نتایج نشان داد که با افزایش رس خاک میزان هدررفت خاک کاهش یافت. این موضوع به‌دلیل نقش مؤثر رس به‌عنوان یک ماده سیمانی در افزایش مقاومت خاکدانه‌ها بود. در تحقیقی جردن و همکاران (۲۰۱۰) رابطه معنی‌داری بین پایداری خاکدانه با میزان ماده آهک ( $R=0.91$ ) تحت باران شبیه‌سازی شده را به‌دست آوردند. روحی‌پور و همکاران (۱۳۸۲) در پژوهشی بر روی چهار نمونه خاک تحت چهار شدت بارندگی و پنج شیب متفاوت نشان دادند که با افزایش درصد خاکدانه‌های پایدار، تخریب خاکدانه‌ها توسط قطرات باران کاهش و مقاومت خاک نسبت به فرسایش افزایش یافت. پیوسته و همکاران (۱۳۹۰) اثر پایداری خاکدانه بر فرسایش ناشی از بارندگی ۳۰ دقیقه‌ای را در ۱۸ نمونه خاک بررسی کردند. نتایج نشان داد که پایداری خاکدانه رابطه معنی‌داری با شدت فرسایش و تغییرات آن دارد. همچنین میزان سیلت، درصد سدیم تبادلی و میزان ماده آهک از جمله ویژگی‌های مهم و اثرگذار خاک بر شدت فرسایش بودند.

در اغلب پژوهش‌های مختلفی که در مورد تأثیر ویژگی‌های خاک بر تخریب آن در برابر باران انجام‌گرفته است، خاک‌های موردنظر بررسی از نوع خاک‌های مناطق مرطوب و نیمه‌مرطوب بوده‌اند و تعداد رخدادهای باران موردنظر بررسی محدود بوده است. در سایر پژوهش‌ها نیز تأثیر ویژگی‌های خاک عمده‌ای از نظر هدررفت خاک تحت شیب مورد بررسی قرار گرفته است.

آلی، کربنات‌کلسیم و اکسیدهای آهن و آلومینیوم نیز قرار می‌گیرد (بارتیس و همکاران ۲۰۰۸). رس عامل مهمی در پیوند ذرات اولیه خاک به همدیگر و تشکیل خاکدانه‌ها می‌باشد. بخش رس و سیلت می‌تواند به‌شكل خاکدانه‌های کوچک، به‌هم پیوسته و خاکدانه‌های ریز را تشکیل دهد. این خاکدانه‌های ریز می‌توانند به‌واسطه هیفه‌ای قارچی، خاکدانه‌های درشت را تشکیل دهد (بوسیوت و همکاران ۲۰۰۱). نسبت خاکدانه‌های پایدار در آب و همچنین فراوانی آن‌ها ممکن است تابعی از نوع خاک و نوع کانی رس، افزایش و یا کاهش پیدا کند (دنف و همکاران ۲۰۰۱). رس زمانی پایداری خاکدانه‌ها را افزایش می‌دهد که میزان سدیم در خاک پایین باشد چرا که حضور سدیم زیاد اثری منفی بر پایداری خاکدانه دارد (کمپر و رسانا ۱۹۸۶). ماده آلی نیز یکی از مهم‌ترین عوامل مؤثر بر هماوری ذرات خاک، خاکدانه‌سازی و پایداری خاکدانه است (انگرس ۱۹۹۸ و ت جدا و همکاران ۲۰۰۶). مواد آلی با پیوند دادن ذرات خاک، افزایش آب‌گریزی خاکدانه‌ها، تشديد فعالیت میکروبی و رشد ریشه، تشکیل و پایداری خاکدانه‌ها را تحت تأثیر قرار می‌دهد (اوونورمادیو و همکاران ۲۰۰۷). کربنات کلسیم نقش مثبتی در پایداری ساختمان در خاک‌های آهکی دارد (یاداو و گیردر ۱۹۸۱). اکسیدهای آهن و آلومینیوم نیز از عوامل مهم هماوری و اتصال ذرات خاک به‌شمار می‌آید. وجود اکسیدهای آهن و آلومینیوم در خاک سبب افزایش جذب سطحی مواد آلی و اتصال بین بارهای مثبت اکسیدها و بار منفی رس شده و یا مانند یک پل بین ذرات اولیه و ثانویه خاک قرار می‌گیرد که سبب اتصال ذرات خاک می‌شود (سیکس و همکاران ۲۰۰۲).

بررسی‌های مختلفی در مورد فرآیند تخریب خاک تحت تأثیر باران انجام‌گرفته است. در این ارتباط امباگو و بازوی (۱۹۹۸) رابطه ویژگی‌های خاک با مقاومت در برابر تخریب خاکدانه‌های خاک خشک توسط ضربه قطرات آب را بررسی کردند و نشان دادند که همبستگی بالایی بین انرژی جداسازی ذرات توسط قطره آب و ویژگی‌های شیمیایی خاک وجود دارد ( $R=0.79$ ). در این میان نقش اکسیدهای آهن و آلومینیوم و آهک در

ضخامت دو سانتی‌متر پوشانده شد. در هر نقطه مقدار ۱۰ کیلوگرم نمونه خاکدانه با قطر بین ۶ تا ۸ میلی‌متر از عمق صفر تا ۳۰ سانتی‌متر با استفاده از الکهای مربوطه برداشت و به طور جداگانه در داخل سه جعبه قرار داده شد. انتخاب این اندازه از خاکدانه‌ها به دلیل امکان بررسی دقیق میزان تخریب خاکدانه‌ها تحت تأثیر ضربه قطرات باران بود. برای تعیین ویژگی‌های فیزیکی و شیمیایی خاکها مقداری خاک که از الک دو میلی-متری عبور داده شده بود، نیز تهیه و به آزمایشگاه منتقل شد.

بررسی فرآیند تخریب خاکدانه‌ها تحت تأثیر باران فرآیند تخریب خاک، تحت چهار رخداد بارندگی در ۹۰ جعبه (۳۰ نوع خاک در سه تکرار) مورد بررسی قرار گرفت. برای این منظور در هر رخداد بارندگی، جعبه‌های محتوی خاکدانه تحت چهار رخداد باران شبیه‌سازی شده با شدت ثابت ۶۰ میلی‌متر بر ساعت به مدت ۳۰ دقیقه قرار گرفتند. قطرات با قطر ثابت ۲/۶۳ میلی‌متر به طور آزاد بر سطح خاکدانه‌ها برخورد کردند. یک سینی گالوانیزه در زیر جعبه‌ها برای جمع‌آوری ذرات پاشمان یافته قرار داده شد. برای جلوگیری از پاشمان ذرات به خارج سینی، هر جعبه در درون یک حفاظ رو باز قرار گرفت (شکل ۱). تخریب خاکدانه‌ها در هر جعبه بر اساس محاسبه میانگین وزنی قطر خاکدانه-ها (MWD) پیش از اعمال باران (۷ میلی‌متر) و پس از آن به دست آمد. برای این منظور، در سطح جعبه‌ها چهار قسمت به ابعاد  $10 \times 10$  سانتی‌متر مربع برای هر رخداد در نظر گرفته شده و پس از پایان هر رخداد بارندگی و پس از خشک شدن سطح خاک از هر جعبه یک نمونه خاک با سیلندر فلزی برداشت شد. خاک نمونه‌برداری شده، از سری الکهای (۶، ۴، ۲، ۱/۱۸، ۰/۵ و ۰/۲۵ میلی‌متر) به روش دستی عبور داده شد. خاک قرار گرفته روی هر الک پس از خشک شدن در آون وزن شده و بخش سنگریزه باقی‌مانده روی هر الک جمع‌آوری و وزن شد. با استفاده از وزن خاکدانه‌های هر بخش و متوسط قطر الکها، میانگین وزنی قطر خاکدانه (MWD) از رابطه زیر تعیین شد:

$$MWD = \sum_{i=1}^n W_i X_i$$

با این حال تأثیر ویژگی‌های خاک بر پایداری خاکدانه‌ها و نقش خاکدانه‌ها از نظر مقاومت در برابر فرسایش بارانی تاکنون مورد بررسی دقیق قرار نگرفته است. اهمیت این بررسی به‌ویژه در خاکهای نواحی نیمه-خشک که اغلب پایداری خاکدانه اندکی در برابر فرایند تخریب توسط قطرات باران دارد، بسیار حائز اهمیت است. از این‌رو این پژوهش به‌منظور تعیین میزان تخریب خاکدانه‌ها تحت ضربه قطرات باران و بررسی تأثیر ویژگی‌های خاک بر مقاومت خاکدانه‌ها در برابر باران در بخشی از خاکهای منطقه نیمه‌خشک شمال غرب زنجان انجام گرفت.

## مواد و روش‌ها نمونه‌برداری خاک

خاکهای مورد مطالعه از حوضه آبخیز تهمچای در ۱۵ کیلومتری شمال غرب زنجان و از محدوده طول جغرافیایی "۲۲° و ۲۹° و ۴۸° و ۴۵° و ۳۵° و ۴۸° و ۳۶° و ۴۷° و ۵۸° و ۴۸° و ۵۹° و ۵۸° و ۳۶° و ۴۷° و ۵۸° و ۴۸° و ۵۹° و ۲۷۶/۴ میلی‌متر است. به‌طورکلی قسمت عده اراضی بر روی واحد فیزیوگرافی دشت‌های مرتفع قدیمی قرار داشته و جزء خاکهای آهکی به‌شمار می‌رود. رژیم حرارتی و رطوبتی خاکهای منطقه نمونه‌برداری به‌ترتیب مزیک و زریک بوده و خاکها در دو رده خاک تشخیص انتی‌سول و اینسپیتی‌سول قرار دارند. خاکها عموماً تحت کشت غلات دیم به‌ویژه گندم قرار دارند (بی‌نام ۱۳۹۰).

برای انجام این پژوهش نمونه‌های خاک از ۳۰ دیماز گندم تحت آیش جمع‌آوری گردید. انتخاب دیمازهای بر اساس تنوع خاکها از نظر ویژگی‌های فیزیکی و شیمیایی از جمله بافت و ساختمان بود. برای نمونه‌برداری ۹۰ جعبه پلاستیکی مسطح و نفوذپذیر با ابعاد  $30 \text{ سانتی‌متر} \times 24 \text{ سانتی‌متر}$  و ضخامت ۶ سانتی‌متر به منطقه نمونه‌برداری منتقل شدند. برای زهکشی بهتر خاک، کف جعبه‌ها با لایه‌ای از شن به

که در آن  $Wi(a+s)$ : وزن توده خاک باقی‌مانده پس از آزمایش روی الک  $a$  ام (خاکدانه باقی‌مانده + شن) و  $Wi(s)$  وزن شن روی هر الک پس از آزمایش (گرم) می‌باشد (یودر ۱۹۳۶).

که در آن:  $Xi$ : میانگین قطر خاکدانه‌های روی هر الک ( $mm$ )،  $Wi$ : نسبت وزن خاکدانه‌های روی هر الک به وزن کل خاکدانه‌های خاک و  $n$ : تعداد الک بود. نسبت وزن خاکدانه‌ها ( $Wi$ ) به کمک رابطه زیر محاسبه شد:

$$Wi = \frac{Wi(a+s) - Wi(s)}{\sum_{i=1}^n Wi(a+s) - \sum_{i=1}^n Wi(s)} \quad [2]$$



(ب)



(الف)

شکل ۱- جعبه‌های حاوی خاکدانه تحت تأثیر باران شبیه‌سازی شده پیش از گذاشتن حفاظ اطراف آن(الف) و پس از گذاشتن حفاظ(ب).

با اسیدکلریدریک یک نرمال (پیج ۱۹۸۷) و درصد سدیم تبادلی خاک (ESP) به روش استات آمونیوم (پیج ۱۹۸۷) تعیین شدند.

پایداری خاکدانه‌ها در آب در خاکدانه‌های با قطر ۶ تا ۸ میلی‌متر با استفاده از دو روش الک تر<sup>۲</sup> (یودر ۱۹۳۶) و آزمون قطره<sup>۳</sup> اندازه‌گیری شد. برای این منظور مقدار (جرم) خاکدانه‌های پایدار بین دو الک پس از گذاشتن روی سری الکها (۱/۱۸، ۰/۰۵، ۰/۰۵ و ۰/۲۵ میلی‌متر) و حرکت دادن عمودی آن‌ها با دستگاه مکانیکی به مدت یک دقیقه درون آب قطر اندازه‌گیری شد و از رابطه ۱ و ۲ میانگین وزنی قطر خاکدانه‌های پایدار ( $MWD_{wet}$ ) به دست آمد. اندازه‌گیری پایداری خاکدانه به روش آزمون قطره، با قرار دادن ۱۰ عدد خاکدانه بر روی الک ۰/۲۵ میلی‌متر انجام شد (شکل ۲). در این آزمایش قطرات آب با قطر ۲/۵۲ میلی‌متر از دهانه یک بورت از

### تعیین ویژگی‌های خاک

جرم مخصوص ظاهری نمونه‌های خاکدانه با روش سیلندر فلزی (بلک و هارتک ۱۹۸۶) تعیین شد. پس از هوا خشک شدن نمونه‌های خاک عبور یافته از الک دو میلی‌متر (۰ ۹۰ نمونه)، توزیع اندازه ذرات خاک (شن، سیلت و رس) با روش هیدرومتری (گی و بادر ۱۹۸۶) تعیین شد. بر اساس درصد ذرات و میانگین قطر آن‌ها، شاخص میانگین هندسی قطر ذرات ( $Dg$ ) نیز محاسبه شد. فراوانی نسبی رس پراکنش‌پذیر از نسبت درصد رس قرائت شده در آب به درصد رس قرائت شده در محلول هگزاماتافسفات سدیم به دست آمد (بی‌نام ۲۰۰۶). میزان سنگریزه خاکدانه‌ها (۲ تا ۸ میلی‌متر) از نسبت جرم سنگریزه خاکدانه‌ها به وزن کل خاکدانه‌ها به دست آمد. واکنش خاک در گل اشباع با استفاده از pH متر، هدایت الکتریکی در عصاره گل اشباع با استفاده از EC متر، ماده آلی خاک به روش سوزاندن مرطوب (والکی و بلک ۱۹۳۴)، کربنات کلسیم معادل به روش خنثی‌سازی

<sup>2</sup> Wet sieving

<sup>3</sup> Drop test

نسخه ۲۰۱۰ و در تحلیل داده‌ها از نرم‌افزار SPSS نسخه ۱۹ استفاده شد.

## نتایج

جدول ۱ ویژگی‌های فیزیکی و شیمیایی خاک‌های مورد مطالعه را نشان می‌دهد. بر اساس نتایج، خاک‌های مورد بررسی (۳۰ نوع خاک) در چهار کلاس بافتی شامل لومرسی، لومشنسی، لومرس‌شنی و شن‌لومسی قرار داشتند. خاک‌ها عموماً دارای مقدار اندکی ماده آلی (۰/۶۷ درصد) و دارای مقادیر متوسطی آهک (۰/۰۰۱ درصد) بودند. درصد سدیم تبادلی در خاک‌ها عموماً پایین بود (کمتر از ۴/۰۰۱). بررسی پراکنش‌پذیری رس‌ها نیز نشان داد که خاک‌های منطقه دارای رس‌های متورم شونده می‌باشند. بررسی میانگین وزنی قطر خاک‌دانه‌ها به روش الک تر نیز نشان داد که خاک‌های منطقه غالباً پایداری اندکی در آب (۰/۰۱ میلی‌متر) داشتند و از این‌رو انتظار می‌رفت مقاومت کمتری در برابر عامل فرساینده (باران) داشته باشند.

بررسی فرآیند تخریب خاک‌دانه تحت تأثیر قطرات باران (جدول ۳) نشان داد که تفاوتی معنی‌دار بین خاک‌ها از نظر میزان تخریب خاک‌دانه‌ها ( $p \leq ۰/۰۰۱$ ) وجود داشت. از آنجا که اندازه خاک‌دانه‌ها در کل خاک‌های مورد بررسی یکسان بود، تفاوت در تخریب خاک‌دانه‌ها مستقیماً به پایداری آن‌ها مرتبط بود. بررسی رابطه بین تخریب خاک‌دانه و پایداری خاک‌دانه‌ها در روش الک تر و آزمون قطره (شکل ۳) نشان داد که همبستگی معنی‌داری بین میزان تخریب خاک‌دانه‌ها و پایداری آن‌ها در روش الک تر ( $MWD_{wet}$ ) وجود نداشت (شکل ۳-الف) با این وجود میزان تخریب خاک‌دانه‌ها همبستگی معنی‌دار با پایداری خاک‌دانه در آزمون قطره آب داشت ( $p \leq ۰/۰۵$  و  $R^2 = ۰/۲۸$ ). این روش تنها ۲۸ درصد تغییرات تخریب خاک‌دانه‌ها تحت تأثیر باران را تبیین کرد (شکل ۳-ب). در آزمون رها کردن قطره آب، با افزایش پایداری خاک‌دانه‌ها (تعداد قطرات آب مورد نیاز برای تخریب کامل خاک‌دانه) میزان تخریب تحت تأثیر باران کاهش یافت.

ارتفاع ۲/۶۰ متری از الک، بر روی خاک‌دانه‌ها برخورد کردند. پایداری خاک‌دانه‌ها بر اساس میانگین تعداد قطرات آب مورد نیاز برای تخریب کامل ۱۰ خاک‌دانه به دست آمد (چپیل ۱۹۶۲).



(الف)



(ب)

شکل ۳- اندازه‌گیری پایداری خاک‌دانه‌ها در آب به روش الک تر (الف) و در برابر قطره به روش رهاسازی قطره (ب).

## تجزیه و تحلیل داده‌ها

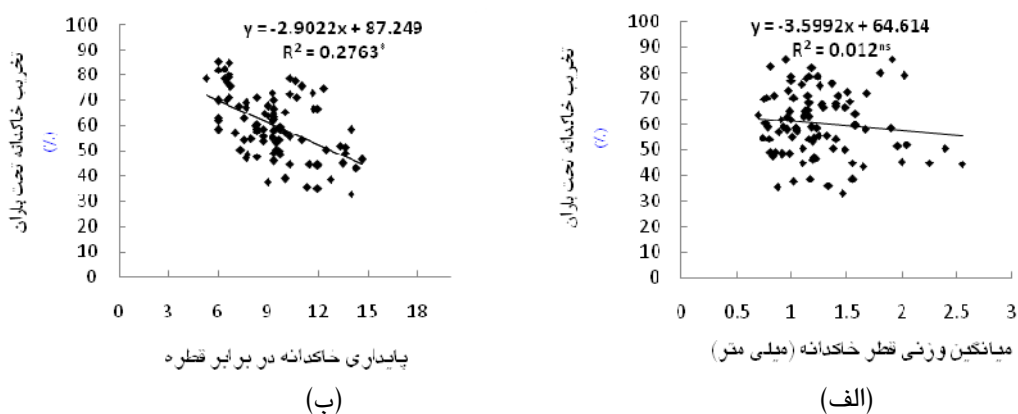
پیش از انجام تجزیه و تحلیل، داده‌ها از نظر توزیع نرمال به روش هیستوگرام با تحلیل چولگی و کشیدگی موربد بررسی قرار گرفتند. تفاوت تخریب خاک‌دانه‌ها در ۳۰ خاک مورد بررسی با استفاده از آزمون‌های مقایسه میانگین به روش دانکن موربد بررسی قرار گرفت. همبستگی بین تخریب خاک‌دانه‌ها، و ویژگی‌های خاک (پایداری خاک‌دانه و ...) به روش پیرسون موربد بررسی قرار گرفت. از روش رگرسیون خطی چندگانه، رابطه بین تخریب خاک‌دانه و ویژگی‌های خاک مؤثر بر آن به دست آمد. در رسم نمودارها از نرم‌افزار Excel

جدول ۱- ویژگی‌های فیزیکی و شیمیایی خاک‌های مورداستفاده در این تحقیق.

ویژگی خاک	کمترین	بیشترین	میانگین	انحراف معیار
شن (%)	۲۷/۳۳	۸۴/۳۸	۵۵/۹۹	۱۶/۴۷
سیلت (%)	۸/۵۰	۳۶/۸۳	۲۱/۲۲	۷/۶۴
رس (%)	۴/۲۵	۴۰/۵۱	۲۲/۵۵	۹/۷۲
رس پراکنش‌پذیر (%)	۵/۳۳	۲۶/۱۰	۱۴/۰۱	۵/۱۰
سنگریزه (%)	۲/۱۰	۳۴/۵۸	۹/۰۶	۶/۴۸
چگالی ظاهری ( $\text{g cm}^{-3}$ )	۰/۸۲	۱/۲۱	۰/۹۴	۰/۰۸
ماده آلی (%)	۰/۱۱	۱/۷۷	۰/۶۷	۰/۳۶
کربنات کلسیم معادل (%)	۵/۹۴	۱۴/۵۶	۱۰/۰۰	۲/۲۴
درصد سدیم تبادلی	۱/۰۱	۴/۰۴	۱/۹۰	۰/۷۱
میانگین وزنی قطر خاکدانه پایدار در آب (mm)	۰/۸۳	۲/۳۵	۱/۲۰	۰/۳۷
تعداد قطره برای تخریب خاکدانه در آزمون قطره	۶/۰۰	۱۴/۰۰	۹/۳۰	۲/۲۱

جدول ۲- تجزیه واریانس میزان تخریب خاکدانه تحت تأثیر باران در خاک‌های مختلف.

منبع تغییر	مجموع مربعات	درجه آزادی	میانگین مربعات	سطح احتمال معنی‌داری	F
نوع خاک	۱۲۸۲۲/۶	۲۹	۴۴۲/۲	۴۴۲/۲	۲۳/۵۵۸
خطا	۱۱۹۶/۱	۶۰			۱۸/۸
کل	۳۳۸۹۶۹/۱	۹۰			.۰/۰۰۰



شکل ۳- رابطه بین تخریب خاکدانه‌ها تحت تأثیر باران و پایداری خاکدانه‌ها در برابر قطره (الف) و پایداری خاکدانه‌ها در برابر قطره (ب).

(الف). شن برخلاف سیلت و رس منجر به افزایش تخریب خاکدانه‌ها شد. میزان تخریب خاکدانه‌ها همچنین تحت تأثیر مثبت مقدار سنگریزه ( $r=0.01$ ) و  $p \leq 0.58$  قرار گرفت با این حال همبستگی منفی بین تخریب خاکدانه و ماده آلی ( $r=-0.46$  و  $p \leq 0.046$ ) و رس پراکنش‌پذیر ( $r=-0.72$  و  $p \leq 0.01$ ) مشاهده گردید. بر اساس نتایج جدول ۳، ویژگی‌هایی از خاک که منجر به

نتایج بررسی میزان و چگونگی تأثیر ویژگی‌های خاک بر فرآیند تخریب خاکدانه (جدول ۳) نشان داد که میزان تخریب خاکدانه‌ها تحت تأثیر نوع ذرات خاک (شن، سیلت و رس) قرار می‌گیرد. تأثیر توأم این ذرات بر فرآیند تخریب با شاخص میانگین هندسی (Dg) قطر ذرات بهتر قابل‌بیان بود به طوری‌که با افزایش Dg تخریب خاکدانه‌ها بهشت افزایش یافت ( $p \leq 0.01$ ) و

وجود عدم تأثیر بر پایداری خاکدانه‌ها در آزمون قطره، منجر به افزایش تخریب تحت تأثیر باران شدند.

افزایش مقاومت خاکدانه‌ها در آزمون قطره شدند (سیلت، رس و ماده آلی)، در کاهش تخریب خاکدانه‌ها در اثر باران مؤثر واقع شدند. درصد سدیم تبادلی با

**جدول ۳- همبستگی بین تخریب خاکدانه و ویژگی‌های خاک.**

ویژگی خاک	پایداری خاکدانه‌ها در آب	پایداری خاکدانه‌ها در آزمون قطره	پایداری خاکدانه‌ها بر اثر بارندگی	تخریب خاکدانه‌ها بر اثر بارندگی
شن	-۰/۷۱	-۰/۰۹	-۰/۳۲**	-۰/۰۹
سیلت	-۰/۶۳**	-۰/۱۳	-۰/۲۶*	-۰/۲۶*
رس	-۰/۷۱**	-۰/۰۷	-۰/۲۴**	-۰/۰۷
میانگین هندسی قطر ذرات	-۰/۷۵**	-۰/۱۳	-۰/۴۰**	-۰/۱۳
رس پراکنش‌پذیر	-۰/۷۲**	-۰/۱۱	-۰/۳۹**	-۰/۱۱
سنگریزه	-۰/۵۸**	-۰/۰۱	-۰/۳۶**	-۰/۰۱
ماده آلی	-۰/۴۶**	-۰/۴۵**	-۰/۲۵**	-۰/۴۵**
کربنات کلسیم	-۰/۰۶	-۰/۰۸	-۰/۰۱	-۰/۰۸
درصد سدیم تبادلی	-۰/۲۵*	-۰/۰۳	-۰/۰۸	-۰/۰۳
پایداری خاکدانه‌ها در آب	-۰/۱۱	۱	-۰/۳۳**	-۰/۳۳**

\* معنی داری در سطح احتمال ۰/۰۵ درصد

\*\* معنی داری در سطح احتمال ۰/۰۱ درصد

باران، رابطه معنی‌داری با سه ویژگی میانگین هندسی قطر ذرات، سنگریزه و ماده آلی دارد (جدول ۴).

تجزیه رگرسیون خطی چندگانه بین تخریب خاکدانه و ویژگی‌های خاک مؤثر بر آن (درصد ذرات معدنی، سنگریزه، رس پراکنش پذیر، ماده آلی و درصد سدیم تبادلی) نشان داد که میزان تخریب خاکدانه‌ها تحت تأثیر

**جدول ۴- تجزیه رگرسیونی خطی بین تخریب خاکدانه، تحت تأثیر باران و ویژگی‌های خاک.**

اجزای مدل	سطح احتمال معنی‌داری	ضرایب استاندارد نشده	انحراف معیار	ضرایب استاندارد شده	t
عدد ثابت	۵۲/۲۲۹	۲/۵۲۸	۲۱/۰۵۵	۰/۰۰۰	۰/۰۰۰
میانگین هندسی قطر ذرات	۵۶/۸۸۷	۷/۷۱۵	۰/۵۶۳	۷/۷۷۴	۰/۰۰۰
سنگریزه	۰/۴۴۲	۰/۱۴۹	۰/۲۲۷	۰/۹۶۹	۰/۰۰۴
ماده آلی	-۷/۱۳۹	۲/۴۲۳	-۰/۲۰۴	-۲/۹۴۶	۰/۰۰۴

بر اساس نتایج جدول ۴ تخریب خاکدانه‌ها تحت تأثیر باران را می‌توان بر اساس ویژگی‌های خاک از رابطه زیر به دست آورد:

$$\text{Aggregate Breakdown} = ۵۲/۲۲۹ + ۵۶/۸۸۷ \text{ Dg} + ۰/۴۴۲ \text{ Gravel} - ۷/۱۳۹ \text{ OM}, \quad R^2 = ۰/۶۵, \quad p \leq ۰/۰۰۱$$

### بحث

در بسیاری از تحقیقات ازجمله آتوو و همکاران (۱۹۹۸)، باسیوت و همکاران (۲۰۰۱) و هابل (۲۰۱۲) تأثیر پایداری خاکدانه‌ها در آب (MWD<sub>wet</sub>) بر کاهش

که در آن: Aggregate Breakdown: تخریب خاکدانه‌ها تحت تأثیر باران (درصد)، Dg: میانگین هندسی قطر ذرات (میلی‌متر)، Gravel: درصد سنگریزه و OM: ماده آلی (درصد) می‌باشد.

به شدت اسیدی و فقیر از ماده آلی بود بررسی کردند. نتایج این محققان نشان داد که خاکدانه‌های دارای مقدار رس بیشتر و اندازه کوچکتر، به میزان کمتری تخریب شدند. در تحقیقی بوسیلت و همکاران (۲۰۰۱) نشان دادند که رس به عنوان عامل مهمی در پیوند دادن ذرات اولیه خاک به همیگر و تشکیل خاکدانه‌ها عمل می‌کند و با افزایش درصد رس، پایداری خاکدانه‌ها در آب (MWD<sub>wet</sub>) افزایش یافت. با این وجود در پژوهش حاضر هیچ رابطه معنی‌داری بین میزان رس خاک و MWD<sub>wet</sub> یافت نشد. این نتیجه برخلاف یافته‌های آتوو و همکاران (۱۹۹۸) بود که نشان دادند که با افزایش درصد رس خاک، میانگین وزنی قطر خاکدانه‌های پایدار در آب، افزایش قابل توجهی یافت.

اگرچه در بسیاری از تحقیقات سیلت به‌دلیل قابلیت چسبندگی پایین و انتقال‌پذیری بالا به عنوان حساس‌ترین ذرات خاک از نظر فرسایش آبی شناخته شده است (ویشمایر و اسمیت ۱۹۷۸، وهابی و نیکامی ۲۰۰۸)، در این پژوهش سیلت به‌نوبه خود منجر به افزایش پایداری خاکدانه‌ها و کاهش تخریب آن‌ها در اثر باران شد. به‌نظر می‌آید با توجه به این‌که آزمایش در جعبه‌ها در شرایط بدون شب (مسطح) انجام گرفت، تأثیر فزاینده ذرات سیلت در افزایش حساسیت خاکها به فرسایش آبی نمایان نشد. با این حال اندازه ریز آن‌ها نسبت به ذرات شن در تشکیل خاکدانه‌های پایدار در برابر قطره مؤثر بود.

نتایج نشان داد که با افزایش میزان شن، تخریب خاکدانه‌ها در برابر بارندگی افزایش یافت. برخلاف ذرات ریز سیلت و رس که باعث چسبندگی، استحکام و پایداری خاکدانه‌ها شدند، ذرات درشت شن با افزایش قابلیت جداشدنی (فن و لی ۱۹۹۳) سبب ناپایداری خاکدانه‌ها شده و تخریب آن‌ها را آسان‌تر کرد. در تحقیقی بلیر (۲۰۰۱) عوامل مؤثر بر پایداری خاکدانه‌ها در خاکهای کوینزلند را در استرالیا با رس غالب

تخریب آن‌ها در اثر قطرات باران و کاهش فرسایش خاک بیان‌شده است. با این حال در این پژوهش همبستگی معنی‌دار بین تخریب خاکدانه‌ها و MWD<sub>wet</sub> مشاهده نشد بلکه تخریب خاکدانه‌ها تحت تأثیر پایداری آن‌ها در آزمون قطره قرار گرفت. در پژوهشی کانتون و همکاران (۲۰۰۹) نیز نشان دادند که هیچ رابطه معنی‌داری بین میانگین وزنی قطر خاکدانه‌ها و میزان فرسایش دیده نشد. اما رابطه بین تعداد قطرات در آزمون قطره و میزان رواناب و فرسایش معنی‌دار بود. در این پژوهش علت آن‌که همبستگی معنی‌دار بین MWD<sub>wet</sub> و تخریب خاکدانه‌ها وجود نداشت این بود که در روشهای تر به‌دلیل آن‌که خاکدانه‌ها به‌یکباره در آب فروبرده می‌شوند، به‌دلیل ناپایداری عمومی خاکدانه‌های منطقه نیمه‌خشک مورد بررسی، در همان ابتدا تعداد زیادی از خاکدانه‌ها در اثر جذب آب و حرکات مکانیکی الکها در آب تخریب شده و به‌همین دلیل اساساً تفاوت بارزی از نظر میانگین وزنی قطر خاکدانه‌های پایدار (MWD<sub>wet</sub>) بین خاکهای مختلف مشاهده نمی‌شود. از این‌رو این روش گویای میزان تخریب خاکدانه‌ها تحت تأثیر باران نبود. با توجه به ماهیت روش رهاسازی قطره و مشابهت نسبی آن با شرایط تأثیر باران طبیعی بر سطح خاک، این روش تا اندازه‌ای (۲۹ درصد) توانست تغییرات میزان تخریب خاکدانه‌ها در خاکهای منطقه را تبیین نماید.

نتایج نشان داد که رس اثر کاهشی معنی‌دار ( $p \leq 0.01$ ) بر تخریب خاکدانه‌ها در اثر باران داشت. با افزایش درصد رس، پایداری خاکدانه‌ها کاهش برابر قطره افزایش و درنتیجه تخریب خاکدانه‌ها یافت (جدول ۳). در پژوهشی انگرز و مهوس (۱۹۹۳) رابطه بین درصد رس خاک و درصد خاکدانه‌های مقاوم در برابر ضربه قطرات باران را بررسی کردند. نتایج در این پژوهشی اثبات نشدند. نتایج نشان داد که با افزایش درصد رس خاک، درصد خاکدانه‌های مقاوم در برابر تخریب توسط قطرات باران افزایش یافت ( $R^2 = 0.89$ ). در پژوهشی وانگ و همکاران (۲۰۱۲) میزان تخریب خاکدانه را در دو نمونه خاک که

ماده آلی خاک دارد ( $t=0/0.1$  و  $p \leq 0.86$ ). پژوهش حاضر نشان می‌دهد که افزایش مواد آلی خاکها، به عنوان روشی مؤثر در بهبود پایداری خاکدانه‌ها و افزایش مقاومت آن‌ها در برابر باران می‌باشد. در افزایش کرمی و همکاران (۲۰۱۲) نیز با بررسی اثرات (MWD<sub>wet</sub>) ماده‌ی آلی بر پایداری خاکدانه در آب (MWD<sub>wet</sub>) نشان دادند که افزودن مواد آلی به خاک سبب افزایش شاخص‌های پایداری خاکدانه (MWD و GMD) شد. در این پژوهش کربنات کلسیم بر پایداری خاکدانه‌ها اثر نداشت و درنتیجه بر تخریب خاک در اثر باران مؤثر نبود. این نتیجه برخلاف برخی تحقیقات بود. خزابی و همکاران (۲۰۰۸) در پژوهشی دریافتند که کربنات کلسیم مانند ملاتی بین ذرات خاک می‌تواند رسوب کند و سبب اتصال ذرات خاک شود. در تحقیقی مینهاس و شارما (۱۹۸۶) در خاک‌های استوایی مرطوب هند نشان دادند که با افزایش میزان کربنات کلسیم، پایداری خاکدانه‌ها افزایش یافت و درنتیجه تخریب خاکدانه‌ها توسط قطرات باران کاهش یافت. وجود یون کلسیم حاصل از انحلال کربنات کلسیم باعث کاهش پراکنش رسها می‌شود. در پژوهشی لی‌بی‌سونایس (۱۹۹۶) تأثیر کربنات کلسیم بر پایداری ساختمان خاک در خاک‌های تحت کشت و کار در فرانسه را بررسی کرد. نتایج نشان داد که با افزایش میزان کربنات کلسیم در خاک پایداری ساختمان خاک افزایش و میزان تخریب خاکدانه‌ها در اثر ضربه قطرات باران کاهش یافت. در مطالعه‌ای الانی و دوداس (۱۹۸۸) دریافتند که با افزایش کربنات کلسیم از صفر تا ۴۰ درصد، MWD<sub>wet</sub> خاکدانه‌ها افزایش یافت.

در پژوهش حاضر، تخریب خاکدانه‌ها تحت تأثیر باران با افزایش درصد سدیم تبادلی افزایش یافت. در تحقیقی آغاسی و همکاران (۱۹۹۴) اثرات انرژی جنبشی قطرات باران را با توجه به ESP خاک بررسی کردند. نتایج نشان داد که هر چه مقدار سدیم تبادلی خاک بیشتر

کائولینیات بررسی کرد و نشان داد که بین میزان شن و پایداری خاکدانه‌ها (MWD<sub>wet</sub>) همبستگی منفی وجود داشت ( $t=-0.67$ ). لووی و همکاران (۲۰۰۵) بیان کردند که وجود درصد بالای سیلت و شن در خاک در مقایسه با میزان درصد رس خاک منجر به کاهش پایداری ساختمان خاک شد.

وجود سنگریزه‌ها درون خاکدانه‌ها و کاهش پایداری آن‌ها در برابر قطرات باران در تخریب خاک در اثر باران مؤثر بود. اگرچه سنگریزه سطحی از یکسو باعث محافظت سطح خاک از ضربه قطرات باران شده و از سوی دیگر باعث افزایش ضربی زبری و ممانعت از انتقال ذرات رسخ خاک و کاهش هدررفت خاک می‌شود، در این پژوهش تأثیر سنگریزه موجود در ساختار خاکدانه‌ها بر پایداری آن‌ها موردنظر بود که به‌دلیل اثر منفی آن بر پایداری خاکدانه‌ها در برابر قطره، تخریب خاکدانه‌ها در اثر باران به‌شدت افزایش یافت.

بر اساس نتایج با افزایش ماده آلی، پایداری خاکدانه در برابر قطره افزایش یافت و درنتیجه تخریب خاکدانه‌ها در اثر باران کاهش یافت (جدول ۳). در پژوهشی لینچ و برنگ (۱۹۸۵) نشان دادند که مواد آلی خاک در تشکیل و نیز در پایداری خاکدانه‌ها نقشی مثبت دارند. در مطالعه‌ای بلاوت و همکاران (۲۰۰۹) در خاک‌های آهکی نشان دادند که پایداری خاکدانه‌های خاک سطحی وابسته به میزان کربن آلی خاک می‌باشد که می‌تواند تخریب ذرات خاک را محدود کند. در تحقیقی ژانگ و همکاران (۲۰۰۸) که در خاک‌های نیمه‌گرمسیری و مرطوب انجام شد، دریافتند که با افزایش میزان ماده آلی، پایداری خاکدانه‌ها (MWD<sub>wet</sub>) افزایش یافت و به دنبال آن تخریب خاکدانه‌ها کاهش یافت. در این تحقیق نیز پایداری خاکدانه‌ها در آب (MWD<sub>wet</sub>) با مقدار ماده آلی همبستگی مثبت معنی‌دار ( $t=0.45$  و  $p \leq 0.1$ ) داشت. بررسی‌های نیشابوری و همکاران (۲۰۰۷) نیز نشان داد که پایداری خاکدانه‌ها همبستگی معنی‌دار با

خاکدانه‌ها تحت تأثیر پایداری خاکدانه‌ها در آب قرار نگرفت با این وجود این شاخص همبستگی منفی معنی‌دار  $p \leq 0.05$  با پایداری خاکدانه‌ها در آزمون قطره داشت ( $R^2 = 0.29$ ). بررسی میزان و چگونگی تأثیر ویژگی‌های خاک بر فرآیند تخریب خاکدانه‌ها نشان داد که تخریب خاکدانه‌ها رابطه معنی‌دار با میانگین هندسی قطر ذرات معنده، سنگریزه و ماده آلی داشت. ویژگی‌هایی از خاک که در افزایش پایداری خاکدانه‌ها در برابر قطره آب مؤثر بودند (سیلت، رس و ماده آلی)، در کاهش تخریب خاکدانه‌ها در اثر باران نیز مؤثر واقع شدند. وجود سنگریزه در درون خاکدانه، حساسیت خاکدانه‌ها در برابر تخریب به‌وسیله قطرات آب را افزایش داد و منجر به تخریب بیشتر خاک‌ها تحت تأثیر باران شد.

باشد، مقدار انرژی لازم برای تخریب خاکدانه‌ها کم‌تر می‌شود. در پژوهشی مامدو و همکاران (۲۰۰۶) نشان دادند که افزایش ESP خاک، موجب افزایش نیروهای دافعه بین رس‌های خاک شده و نیروی چسبندگی را در داخل خاکدانه‌ها تضعیف کرده و تخریب خاکدانه‌ها را تشدید می‌کند. بررسی‌های گارسیاوارنس و همکاران (۲۰۰۵) نیز نشان داد که کاهش درصد سدیم تبادلی، پایداری خاکدانه‌ها را افزایش داد.

### نتیجه‌گیری کلی

بررسی تخریب خاکدانه‌ها تحت تأثیر ضربه قطرات باران و رابطه آن با پایداری خاکدانه نشان داد که تفاوتی معنی‌دار بین خاک‌های مختلف از نظر میزان تخریب خاکدانه‌ها وجود داشت ( $p \leq 0.01$ ). تخریب

### منابع مورد استفاده

- پیوسته ف، اسدی، ح و عاکف، م، ۱۳۹۰. بررسی اثر پایداری خاکدانه بر فرسایش ناشی از بارندگی. دوازدهمین کنگره علم و خاک ایران، ۱۲ الی ۱۴ شهریور، تبریز.  
روحی پور ح، فرزانه ه، و اسدی ح، ۱۳۸۳. بررسی رابطه برخی از شاخص‌های پایداری خاکدانه با عامل فرسایش‌پذیری خاک با استفاده از شبیه‌سازی باران. فصلنامه پژوهشی تحقیقات مرتع و بیابان ایران، جلد ۱۱، شماره ۳، صفحه‌های ۲۲۶ تا ۲۵۴.

بی‌نام، ۱۳۹۰. گزارش ممنوعیت محدوده مطالعاتی دشت زنجان. سازمان آب استان زنجان.

- Agassi M, Bloem D and Ben-Hur D, 1994. Effect of drops energy and soil and water chemistry on infiltration and erosion. Water Resources Research 30(4):1187-1193.  
Al-Ani AN and Dudas MJ, 1988. Influence of calcium carbonate on mean weight diameter of soil. Soil and Tillage Research 11: 19-26.  
Angers AD, 1998. Water stable aggregation of Quebec silty clay soils: some factors controlling its dynamics. Soil and Tillage Research 47: 91-96.  
Angers AD and Mehys GR, 1993. Aggregate stability to water. Pp. 651-657, In: Cartner MR (Ed), Soil Sampling and Methods of Analysis. Canadian Society of Soil Science. Lewis Pub. Boca Raton, Canada.  
Attou F, Bruand A and Le Bissonnais Y, 1998. Effect of clay content and silt-clay fabric on stability of artificial aggregates. European Journal of Soil Science 49: 569-577.  
Barthes BG, Kouoa Kouoa E, Larre-Larrouy MC, Razafimbelo TM, de Luca EF, Azontonde A, Neves CS, de Freitas PL and Feller CL, 2008. Texture and sesquioxide effects on water stable aggregates and organic matter in some tropical soils. Geoderma 143: 14-25.  
Barthes B and Roose, E, 2002. Aggregate stability as an indicator of soil susceptibility to runoff and erosion; validation at several levels. Catena 47: 133-149.  
Blake GR and Hartge KH, 1986. Bulk density. Pp. 377-382. In: Klute A (Ed), Methods of Soil Analysis. American Society of Agronomy. Madison, WI.  
Blair N, 2001. Impact of cultivation and sugarcane green trash management on carbon fraction and aggregate stability for a chromic luvisol Queensland, Australia. Soil and Tillage Research 55:183-191.

- Blavet D, Noni G, Le Bissonnais Y, Leonard M, Maillo L, Laurent JY, Asseline J, Leprun JC, Arshad MA and Roose E, 2009. Effect of land use and management on the early stages of soil water erosion in French Mediterranean vineyards. *Soil and Tillage Research* 106: 124–136.
- Bossuyt H, Denef K, Six J, Frey SD, Merckx R and Paustian K, 2001. Influence of microbial populations and residue quality on aggregate stability. *Applied Soil Ecology* 16: 195-208.
- Canton Y, Sole-Benet A, Asensio C, Chamizo S and Puigdefabbregas J, 2009. Aggregate stability in range sandy loam soils relationships with runoff and erosion. *Catena* 77: 192-199.
- Chepil WS, 1962. A compact rotary sieve and the importance of dry sieving in physical analysis. *Soil Science Society of American Journal* 26: 4-6.
- Denef K, Six J, Paustian K and Merckx R, 2001. Importance of macroaggregate dynamics in controlling soil carbon stabilization: short-term effects of physical disturbance induced by dry-wet cycles. *Soil Biology and Biochemistry* 33: 2145-2153.
- Fan R and Li Z, 1993. Rainsplash and sediment transport model on the slope. *Journal of Hydraulic Engineering* 6: 24–29 (in Chinese).
- Anonymous, 2006. Water dispersible clay. In: World reference base for soil resources: a framework for international classification, correlation and communication (Food and Agricultural Organisation of the United Nations: Rome), Report 13, 128p.
- Garcí'a-Orenes F, Guerrero C, Mataix-Solera J, Navarro-Pedren'o J, Go'mez I and Mataix-Beneyto J, 2005. Factors controlling the aggregate stability and bulk density in two different degraded soils amended with biosolids. *Soil and Tillage Research* 82: 65–76.
- Gee GW and Bauder JW, 1986. Particle size analysis. Pp. 383-411. In: Klute, I. (Ed). *Methods of Soil Analysis*. Part 1. Agron. Monogr. 9. I.S.I. Madison. WI.
- Habel AY, 2013. The role of climate on the aggregate stability and soil erodibility of selected El-Jabal Al-Akhdar soils-Libya. *Journal of Agriculture Research* 58: 261-271.
- Jordan A, Zavala L and Gil J, 2010. Effects of mulching on soil physical properties and runoff under semi-arid conditions in southern Spain. *Catena* 81: 77–85
- Karami A, Homaee M, Afzalinia S, Ruhipour H and Basirat S, 2012. Organic resource management: Impacts on soil aggregate stability and other soil physico-chemical properties. *Agriculture, Ecosystems and Environment* 148: 22– 28.
- Kemper WD and Rosenau RC, 1986. Aggregate stability and size distribution. Pp. 425-442. In: Klute A (ed.), *Methods of Soil Analysis*. Part 1. ASA and SSSA, Madison, WI.
- Khazai A, Mosadeghi MR and Mahboubi AR, 2008. Effect of laboratory condition, organic matter content, clay and calcium carbonates on mean weight diameter and tensile strength of aggregates in some Hamadan soils. *Journal of Agricultural Science and Technology* 12(44): 123-134.
- Levy GJ, Goldstein G and Mamedov AI, 2005. Saturated hydraulic conductivity of semiarid soils: combined effects of salinity, sodicity, and rate of wetting. *Soil Science Society of America Journal* 69: 653-662.
- Le Bissonnais Y, 1996. Aggregate stability and assessment of soil crustability and erodibility: I. Theory and methodology. *European Journal of Soil Science* 47: 425–435.
- Loch RJ and Foley JL, 1994. Measurement of aggregate breakdown under rain: comparison with tests of water stability and relationships with field measurements of infiltrations. *Australian Journal of Soil Research* 32: 701–720.
- Lynch JM and Bragg E, 1985. Microorganisms and soil aggregate stability. *Advances in Soil Science* 2: 133-171.
- Mbagwu, JSC, 2003. Aggregate Stability and Soil Degradation in the Tropics. Lecture given at the College on Soil Physics, Trieste, 3-2, March, Pp.1-7.
- Mbagwu J and Bazzoffi P, 1998. Soil characteristics related to resistance of breakdown of dry soil aggregates by water-drops. *Soil and Tillage Research* 45:133–145.
- Mamedov AI, Huang C and Levy GJ, 2006. Antecedent moisture content and aging duration effects on seal formation and erosion in smectitic soils. *Soil Science Society of America Journal* 66: 631-639.
- Minhas PS and Sharma, DR, 1986. Hydraulic conductivity and clay dispersion as affected by application sequence of saline and simulated rain water. *Irrigation Science* 7: 159-161.
- Neyshabouri, MR Safarzade N, Oustan S and Tourchi M, 2007. Effects of some soil physical and chemical attributes on three aggregate stability indices. Pp.1-3. International Scientific Conference on Bioclimatology and Natural Hazards. 17-20, September, Pol'ana nad Detvou, Slovakia, ISBN 978-80-228-17-60-8.

- Onweremadu EU, Onyia VN and Anikwe MAN, 2007. Carbon and nitrogen distribution in water-stable aggregates under two tillage techniques in Fluvisols of Owerri area, southeastern Nigeria. *Soil and Tillage Research* 97: 195-206.
- Page MC, Sparks DL and Noll MR, 1987. Kinetics and mechanisms of potassium release from sandy middle Atlantic coastal Plain soils. *Soil Science Society of America Journal* 51: 1460-1465.
- Ramos MC, Nacci S and Pla I, 2003. Effect of raindrop impact and its relationship with aggregate stability to different disaggregation forces. *Catena* 53: 365-376.
- Ruiz-Sinoga JD and Romero-Diaz A, 2010. Soil degradation factors along a Mediterranean pluviometric gradient in Southern Spain. *Geomorphology* 118: 359-368.
- Six J, Conant R, Paul E and Paustian K, 2002. Stabilization mechanisms of soil organic matter: Implications for C-saturation of soils. *Plant and Soil* 241:155-176.
- Tejada M, Garcia C, Gonzalez JL, and Hernandez, MT, 2006. Use of organic amendment as a strategy for saline soil remediation: Influence on the physical, chemical and biological properties of soil. *Soil Biology and Biochemistry* 38: 1413-1421.
- Topp GC, Reynolds WD, Cook FJ, Kirkby JM and Carter MR, 1997. Physical attributes of soil quality. Pp. 21-58. In: Gregorich EG and Carter MR (eds.). *Soil Quality for Crop Production and Ecosystem Health*, Elsevier Science Amsterdam, Netherlands.
- Torri D, Sfalanga M and Del Sette M, 1987. Splash detachment: runoff depth and soil cohesion. *Catena* 14: 149–155.
- Vahabi J and Nikkami D, 2008. Assessing dominant factors affecting soil erosion using a portable rainfall simulator. *International Journal of Sediment Research* 23: 376-386.
- Valette G, Pre'vost S, Lucas L and Le'onard J, 2006. SoDA project: A simulation of soil surface degradation by rainfall. *Computers and Graphics* 30: 494–506.
- Walkly A and Black IA, 1934. An examination of digestion methods for determining soil organic matter and a proposed modification of the chromic and titration. *Soil Science Society of America Journal* 37: 29-38.
- Wischmeier WH and Smith DD, 1978. *Predicting Rainfall Erosion Losses, a Guide to Conservation Planning*, Agriculture Handbook No. 537. U.S. Department of Agriculture, Washington, DC.
- Yadav JSP, and Girdhar IK, 1981. The effect of different magnesium-calcium ratios and sodium adsorption values of leaching water on the properties of calcareous soils versus non-calcareous soils. *Soil Science* 131: 194-198.
- Yoder RE, 1936. A direct method of aggregate analysis and a study of a physical nature of erosion losses. *Journal of American Agronomy* 28: 337-351.
- Zhang Z, Wei C, Xie D, Gao M and Zeng X, 2008. Effects of land use patterns on soil aggregate stability in Sichuan Basin, China. *Particuology* 6: 157–166.